

大阪大学工学部 正員 西村宣男

大阪大学大学院 学生員○間瀬利明

大阪大学工学部 学生員 大谷智正

1.はじめに

現在、わが国の土木構造物の設計に対して限界状態設計法の導入が計画されている。すでに限界状態設計法を導入している諸外国の設計規準では、部材の長さに関する区分（部材区分）と、断面構成要素の幅厚比に関する区分（断面区分）を組み合わせて、設計に用いる構造解析法と強度の評価式を選択するのが一般的である。そこで我が国においても、細長比を用いた部材区分と、構成板要素の幅厚比を用いた断面区分を明確化する必要があると思われる。

そこで本研究では、この2つの区分のうち断面区分に注目し、弾塑性有限変位解析プログラムを用いた数値解析により、断面区分の各境界である降伏強度限界、塑性強度限界、塑性設計限界の各限界幅厚比パラメータを求める目的とする。

2.限界幅厚比パラメータと基準強度

限界幅厚比パラメータについては、次の3通りの限界を考える。

- ・降伏強度限界幅厚比パラメータ $[\bar{\lambda}_p]_Y$: 断面強度が降伏強度まで保証される幅厚比
- ・塑性強度限界幅厚比パラメータ $[\bar{\lambda}_p]_P$: 断面強度が全塑性強度まで保証される幅厚比
- ・塑性設計限界幅厚比パラメータ $[\bar{\lambda}_p]_{PA}$: 塑性設計が適用できる幅厚比

上に示した3通りの限界における基準値を、以下のように定義する。

- ・降伏強度限界

$$K_U = \frac{N_u}{N_y} + \frac{M_u}{M_y} = 1.0 \quad (1)$$

- ・塑性設計限界

$$\frac{\varepsilon_1}{\varepsilon_y} = 3.0 \quad (3)$$

- ・塑性強度限界

$$K_U = \begin{cases} \frac{(c+1)(\sqrt{9c^2+1}-1)}{3c^2} & c \neq 0 \\ 1.5 & c = 0 \end{cases} \quad (2)$$

ここで、圧縮曲げ比 $c = \frac{N/N_y}{M/M_y}$

3. 解析モデル

解析モデルは、代表的な断面構成要素である周辺単純支持板を考え、まず圧縮曲げ比 c を6個の一定値0.0, 0.2, 0.5, 1.0, 2.0, ∞ と固定し、幅厚比パラメータ $\bar{\lambda}_p$ を0.4~1.2まで変化させ、極限強度を求める。また、鋼材特性として、ひずみ硬化領域まで考慮したSS400材の応力-ひずみ関係を用いる。

残留応力¹⁾は平均値として残留圧縮応力 $\sigma_{rc} = -0.12\sigma_y$ 、残留引張応力 $\sigma_{rt} = \sigma_y$ の大きさを有する自己平衡型の分布形状を持つようにモデル化した。図-1に残留応力分布形状を示す。

初期たわみは、座屈実験データベースから最大たわみの平均値として $b/520.8$ を与える。形状は、純曲げの場合は減衰sin波を、純圧縮の場合にはsin波を、曲げ圧縮の場合は、圧縮-曲げ比 c によりこれらの2つを組み合わせている。初期たわみ形状を図-2に示す。

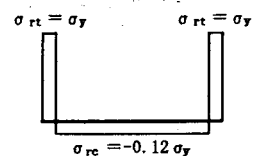


図-1 残留応力分布

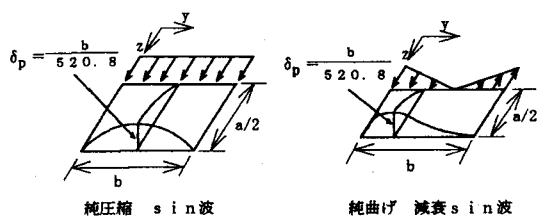


図-2 初期たわみ形状

4. 解析結果

周辺単純支持板の圧縮曲げ比 c が $0.0, 0.2, 0.5, 1.0, 2.0, \infty$ の場合の、幅厚比パラメータ $\bar{\lambda}_p$ と強度パラメータ K_0 の関係を図-3に示す。また、図-3には、降伏強度限界、塑性強度限界の基準値と、解析値の近似曲線もあわせて図示した。

幅厚比パラメータ $\bar{\lambda}_p$ と塑性率 $\varepsilon_1 / \varepsilon_y$ の関係を図-4に示す。

これらの図から降伏強度限界、塑性強度限界、塑性設計限界の幅厚比パラメータ $\bar{\lambda}_p$ を求め、これらの値を圧縮曲げ比 c を傾きに、幅厚比パラメータ $\bar{\lambda}_p$ を原点からの距離とする極座標に示すと図-5のようになる。各限界幅厚比パラメータを圧縮曲げ比 c の関数として以下の近似式で提案する。

・降伏強度限界幅厚比パラメータ

$$[\bar{\lambda}_p]_r = \frac{1.03 + 0.49c}{1.00 + 0.71c} \quad (4)$$

・塑性強度限界幅厚比パラメータ

$$[\bar{\lambda}_p]_p = \frac{0.56 - 0.44c + 4.51c^2}{1.00 + 0.47c + 6.54c^2} \quad (5)$$

・塑性設計限界幅厚比パラメータ

$$[\bar{\lambda}_p]_{PA} = \frac{0.56 - 0.44c + 4.51c^2}{1.00 + 0.47c + 6.54c^2} \quad (6)$$

ただし、 $c \leq 1.0$

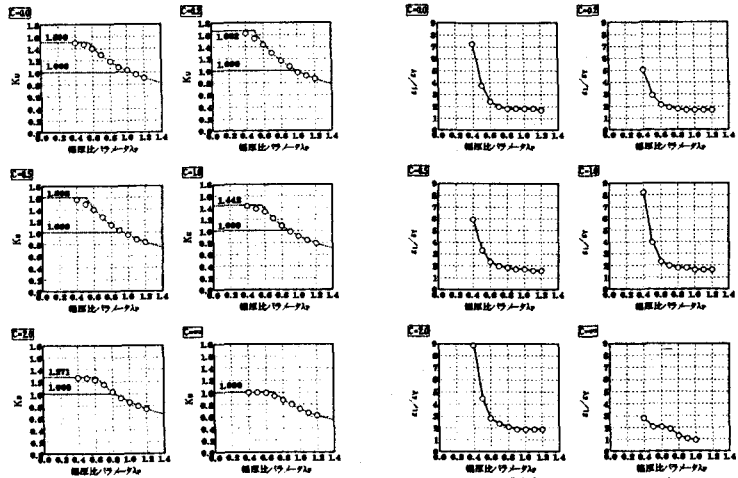


図-3 極限強度と幅厚比の関係

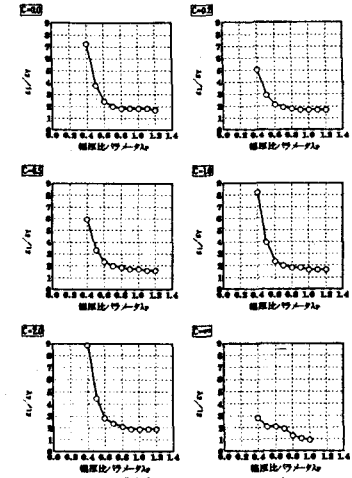


図-4 塑性率と幅厚比の関係

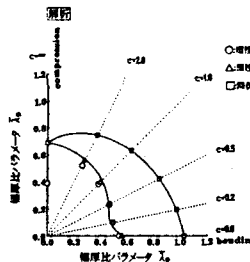


図-5 限界幅厚比(解析)

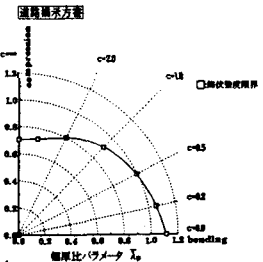


図-6 各国的设计規準(道路橋示方書)

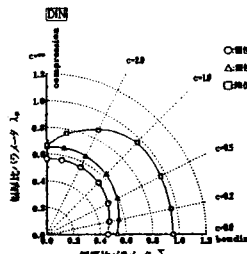


図-7 各国的设计規準(DIN)

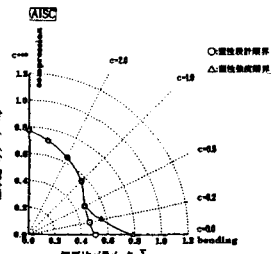


図-8 各国的设计規準(AISC)

解析より求めた各限界幅厚比を図-6から図-8に示す各国の設計規準と比較すると、降伏強度限界はDINや道路橋示方書と類似している。それに対し、塑性強度限界、塑性設計限界は、曲げが卓越する部分で、限界値が小さくなる傾向が見られ、AISCと似ている。

5. まとめ

以上述べたように、周辺単純支持板の降伏強度限界、塑性強度限界、塑性設計限界を明らかにし、各限界幅厚比パラメータを、圧縮曲げ比 c の関数として提案した。また、解析結果を各国の設計規準と比較した。

【参考文献】

- 1) 小松定夫・牛尾正之・北田俊行：補剛板の溶接残留応力および初期たわみに関する実験的研究、土木学会論文報告集、第265号、1977年9月
- 2) 奈良 敬：面内力を受ける鋼板および補剛板の極限強度に関する研究、学位論文、1986年